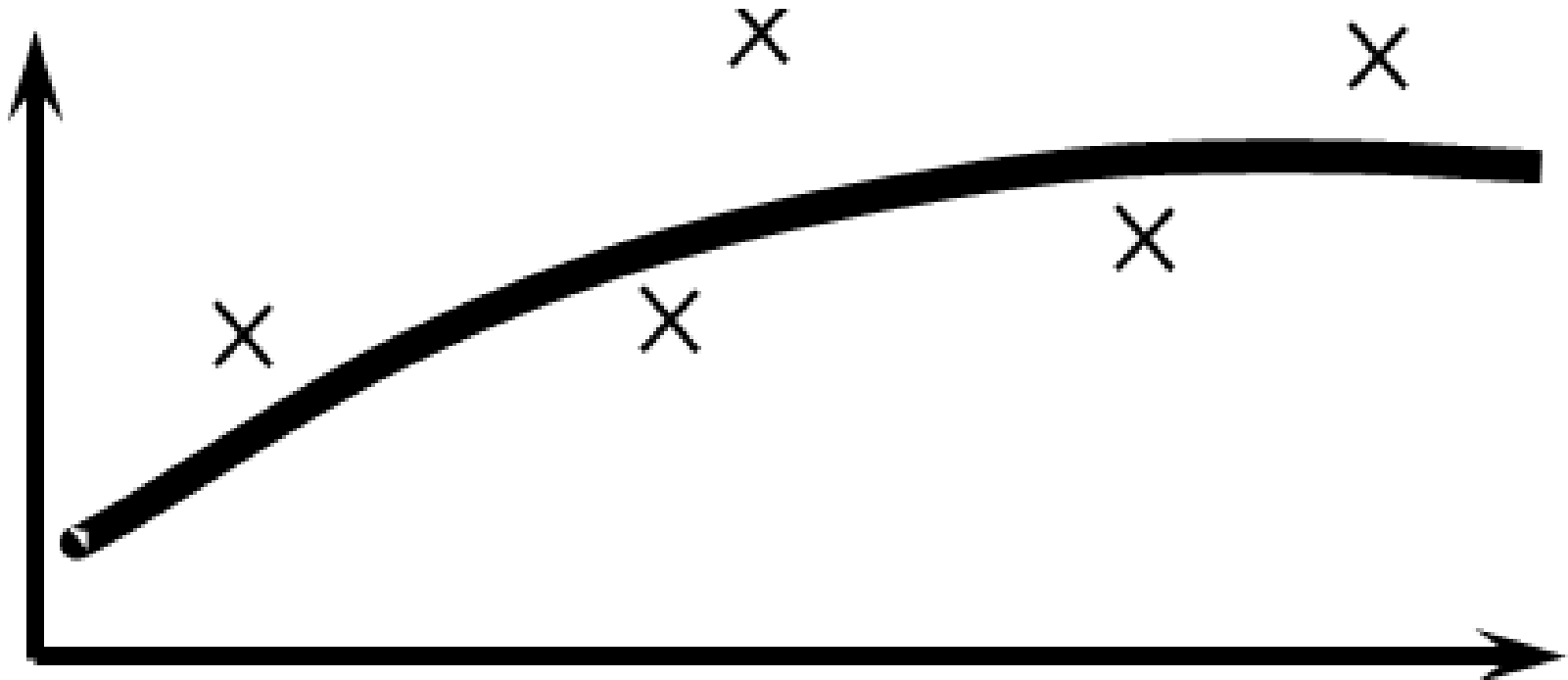


Cuarta Parte:

Clase 6 – *VFA*: aproximaciones paramétricas

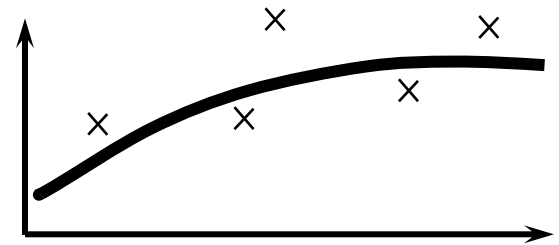
Optimización Dinámica - ICS



Mathias Klapp

Resumen de aproximaciones para $Q_t(y_t)$

- Tabla de valores (*Lookup table*)
 - Diccionario con un valor estimado para cada estado y_t
 - Desafío adicional: control de memoria, *over-fitting*.
- Aproximación paramétrica:
 - Modelos lineales, no lineales y ALP
 - Explota estructura: monotonía, convexidad, no-negatividad.
 - Exige suponer *a priori* una forma funcional de Q .





Menú del Día

- ❖ VFA con aproximación paramétrica.
- ❖ Modelos lineales.
- ❖ AVI paramétrico lineal.
- ❖ Explotando estructura
- ❖ Otros modelos

VFA con aproximación paramétrica.

- En etapa t y estado s_t , decide mediante:

$$d_t^{VFA}(s_t) \in \operatorname{argmax}_{x \in \mathbb{X}_t(s_t)} \{r_t(s_t, x) + \bar{Q}_t(y_t(s_t, x), \boldsymbol{\theta})\}$$

- Value-to-go real $Q_t(y_t)$ es aproximado por función $\bar{Q}_t(y_t, \boldsymbol{\theta})$ dependiente de un vector $\boldsymbol{\theta}$ de parámetros calibrados offline.

- Ejemplo: Si $y_t \in \mathbb{R}$, una posible aproximación podría ser:

$$\bar{Q}_t(y_t, \boldsymbol{\theta}) = \theta_0 + \theta_1 \cdot y_t + \theta_2 \cdot y_t^2 + \theta_3 \cdot t$$



Menú del Día

- ❖ VFA con aproximación paramétrica.
- ❖ Modelos lineales.
- ❖ AVI paramétrico lineal.
- ❖ Explotando estructura
- ❖ Otros modelos

Modelo de aproximación lineal:

- Se usa un modelo lineal en los parámetros a calibrar:

$$\bar{Q}_t(y, \theta) = \sum_{f \in \mathcal{F}} \theta_f \cdot \phi_f(y, t) = \boldsymbol{\theta} \cdot \boldsymbol{\phi}(y, t)$$

, donde:

1. \mathcal{F} es el conjunto de características seleccionadas del estado.
 - Por ejemplo si y es una ruta. $\mathcal{F} = \{\text{duración, \# de clientes en ruta}\}$.
2. $\phi_f(y, t)$ es el valor de la característica f en el estado y etapa t .
 - $\phi_1([\{0,2,3,6,0\}, t = 8]) = 8$, $\phi_2([\{0,2,3,6,0\}, t = 8]) = 3$
3. $\boldsymbol{\theta}$ es el vector de parámetros que pesan las características.
 - $\boldsymbol{\theta} = (\theta_1, \theta_2)$

Modelo lineal dependiente del tiempo:

- Aproximación lineal con parámetros dependientes del tiempo:

$$\bar{Q}_t(y, \theta_t) = \sum_{f \in \mathcal{F}_t} \theta_f^t \phi_f^t(y) = \theta^t \cdot \phi^t(y)$$

, donde:

1. \mathcal{F}_t es el conjunto de características base seleccionadas en etapa t .
 - Por ejemplo, si y es una ruta. $\mathcal{F} = \{\# \text{ de clientes en ruta}\}$.
2. $\phi_f^t(y)$ es el valor de la característica f de la etapa t en el estado y .
 - $\phi_1^8([0,2,3,6,0]) = 3$
3. θ^t es el peso relativo de las características en la etapa t .
 - $\theta^8 = (\theta_1^8)$



Menú del Día

- ❖ VFA con aproximación paramétrica.
- ❖ Modelos lineales.
- ❖ AVI paramétrico lineal.
- ❖ Explotando estructura
- ❖ Otros modelos

AVI paramétrico: version indep. del tiempo

1. Iniciar con $\theta \leftarrow \theta^0$.
2. Para $n = 1, \dots, N$
 1. Iniciar estado inicial $s_1^n \leftarrow s_1$
 2. Para cada $t = 1, \dots, T$
 - $x_t^n \leftarrow \operatorname{argmax}_{x \in \mathbb{X}_t(s_t^n)} \{r_t(s_t^n, x) + \theta \cdot \phi(y(s_t^n, x), t)\},$
 - $y_t^n \leftarrow y(s_t^n, x_t^n),$
 - $\phi_t^n \leftarrow \phi(y_t^n, t),$
 - $s_{t+1}^n \leftarrow f(y_t^n, \omega_t^n)$
 3. Para cada $t = T, T - 1, \dots, 1$:
 - $q_t^n \leftarrow r_t(s_t^n, x_t^n) + \theta \cdot \phi_t^n$
 - Recalibrar θ con la información disponible (q_t^n, ϕ_t^n)

Retornar θ

¿Cómo calibrar θ en la corrida n ?

- Minimizar la norma del vector de errores e sobre todas las observaciones:

$$\min_{\theta} \|e\|^2 = \min_{\theta} \|Q_m - \Phi_m \cdot \theta\|^2$$

, donde $Q_m = \{q_i\}_{i \in [m]}$ es un vector con m observaciones del *value-to-go* y $\Phi_m = \{\phi_{i,f}\}_{i \in [m], f \in \mathcal{F}}$ es la matriz de m observaciones de variables independientes, es decir:

$$Q_m = \begin{bmatrix} q_1 \\ \vdots \\ q_m \end{bmatrix}, \quad \Phi_m = \begin{bmatrix} \phi_{1,1} & \cdots & \phi_{1,F} \\ \vdots & \ddots & \vdots \\ \phi_{m,1} & \cdots & \phi_{m,F} \end{bmatrix} = \begin{bmatrix} \phi_1^T \\ \vdots \\ \phi_m^T \end{bmatrix}, \quad \theta = \begin{bmatrix} \theta_1 \\ \vdots \\ \theta_F \end{bmatrix}$$

Algoritmo MC: Mínimos Cuadrados

$$\min_{\theta} \|Q_m - \Phi_m \theta\|^2 = (Q_m - \Phi_m \theta)^T (Q_m - \Phi_m \theta)$$

$$\min_{\theta} Q_m^T Q_m - 2Q_m^T \Phi_m \theta + \theta^T \Phi_m^T \Phi_m \theta$$

Derivando e igualando a cero:

$$-2\Phi_m^T Q_m + 2\Phi_m^T \Phi_m \theta = 0$$

Implica que:

$$\theta_m^* = \underbrace{(\Phi_m^T \Phi_m)^{-1}}_{B_m} \underbrace{(\Phi_m^T Q_m)}_{Z_m} = B_m Z_m$$

¿Es lo anterior suficiente?

El algoritmo anterior es una primera idea, pero:

1. Es lento. Recalcula MC desde cero en cada corrida.
 - **Solución:** Mínimos cuadrados recursivos

2. Asume estacionariedad en distribución de errores.
 - **Solución:** Ponderación menor para datos del pasado.

Mínimos Cuadrados Recursivos

- Versión de mínimos cuadrados que calcula θ_m^* como función de θ_{m-1}^* y el último dato (q_m, ϕ_m) evitando hacer MC.
- Recordemos que $\theta_m^* = B_m Z_m$. Queremos evitar calcular $B_m = (\Phi_m^T \Phi_m)^{-1}$ y $Z_m = \Phi_m^T Q_m$ en cada corrida.
- Detalles en libro de Powell (2011), página 405

Observación 1: Recursión de B_m^{-1}

$$\begin{aligned} B_m &= (\Phi_m^T \Phi_m)^{-1} = \left([\phi_1 \quad \dots \quad \phi_m] \begin{bmatrix} \phi_1^T \\ \vdots \\ \phi_m^T \end{bmatrix} \right)^{-1} = \left(\sum_{i=1}^m \phi_i \phi_i^T \right)^{-1} \\ &= \left(\sum_{i=1}^{m-1} \phi_i \phi_i^T + \phi_m \phi_m^T \right)^{-1} = (B_{m-1}^{-1} + \phi_m \phi_m^T)^{-1} \end{aligned}$$

Es decir:

$$B_m^{-1} = B_{m-1}^{-1} + \phi_m \phi_m^T$$

Lemma:

Sean B', B son matrices positivas definidas $\mathbb{R}^{p \times p}$ y $v \in \mathbb{R}^p$ tal que:

$$B'^{-1} = B^{-1} + vv^T$$

, entonces se cumple que:

$$B' = B - \frac{Bvv^TB}{(1 + v^TBv)}$$

Probar: multiplicando y obteniendo la identidad!

Observación 2: Recursión de B_m

- Si $B_m^{-1} = B_{m-1}^{-1} + \phi_m \phi_m^T$, entonces:

$$B_m = B_{m-1} - \frac{B_{m-1} \phi_m \phi_m^T B_{m-1}}{1 + \phi_m^T B_{m-1} \phi_m}$$

- Definamos la **Ganancia** $K_m = \frac{B_{m-1} \phi_m}{1 + \phi_m^T B_{m-1} \phi_m}$. Luego:

$$B_m = B_{m-1} - K_m \phi_m^T B_{m-1}$$

Propiedad de la ganancia K_m

- Propiedad: $K_m = B_m \phi_m$

Demostración de la propiedad:

$$K_m = \frac{B_{m-1} \phi_m}{1 + \phi_m^T B_{m-1} \phi_m}. \text{ Luego:}$$

$$(1 + \phi_m^T B_{m-1} \phi_m) K_m = B_{m-1} \phi_m$$

Es decir:

$$\begin{aligned} K_m &= B_{m-1} \phi_m - K_m \phi_m^T B_{m-1} \phi_m \\ &= (B_{m-1} - K_m \phi_m^T B_{m-1}) \phi_m \\ &= B_m \phi_m \end{aligned}$$

Observación 3: Recursión de Z_m

$$\begin{aligned} Z_m &= \Phi_m^T Q_m = [\phi_1 \quad \dots \quad \phi_m] \begin{bmatrix} q_1 \\ \vdots \\ q_m \end{bmatrix} = \sum_{i=1}^m q_i \phi_i = \sum_{i=1}^{m-1} q_i \phi_i + q_m \phi_m \\ &= Z_{m-1} + q_m \phi_m \end{aligned}$$

Es decir:

$$\mathbf{Z}_m = \mathbf{Z}_{m-1} + \mathbf{q}_m \phi_m$$

Ya tenemos todos los elementos!

Derivación del cálculo recursivo de θ_m^*

De mínimos cuadrados tenemos que:

$$\theta_m^* = B_m Z_m = B_m (Z_{m-1} + q_m \phi_m)$$

$$\theta_m^* = B_m Z_{m-1} + q_m B_m \phi_m$$

$$\theta_m^* = (B_{m-1} - K_m \phi_m^T B_{m-1}) Z_{m-1} + B_m \phi_m q_m$$

$$\theta_m^* = \theta_{m-1}^* - K_m \phi_m^T \theta_{m-1}^* + K_m q_m$$

$$\theta_m^* = \theta_{m-1}^* - K_m (\phi_m^T \theta_{m-1}^* - q_m)$$

Es decir:

$$\theta_m^* = \theta_{m-1}^* - K_m \zeta_m$$

, donde $\zeta_m = \phi_m^T \theta_{m-1}^* - q_m$ es el error de la calibración al predecir el value-to-go del dato nuevo.

Algoritmo MCR: Mínimos Cuadrados Recursivos

Actualización de θ_m^* dato en función de θ_{m-1}^* , B_{m-1} , q_m , ϕ_m :

1. Calcular ganancia y error:

- $$K_m = \frac{B_{m-1}\phi_m}{1 + \phi_m^T B_{m-1} \phi_m}$$
- $$\zeta_m = \phi_m^T \theta_{m-1}^* - q_m$$

2. Ajustar calibración:
$$\theta_m^* = \theta_{m-1}^* - K_m \zeta_m$$

3. Preparar B_m para prox. ajuste:
$$B_m = B_{m-1} - K_m \phi_m^T B_{m-1}$$

4. Retornar θ_m^*

¿Cómo iniciar?:

1. Aproximado: $B_0 = \epsilon \cdot I$, donde $\epsilon > 0$

2. Hacer un lote inicial con MC clásico

¿Es lo anterior suficiente?

El algoritmo anterior es una primera idea, pero:

1. Es lento. Recalcula MC desde cero en cada corrida.
 - **Solución:** Mínimos cuadrados recursivos
2. Asume estacionariedad en distribución de errores.
 - **Solución:** Ponderación menor para datos del pasado.

Caso no estacionario

- Se ajusta el algoritmo anterior por un peso $0 < \alpha_m \leq 1$.
- Mientras más bajo es α_m menos se considera el pasado
- Valor que típicamente brinda buenos resultados:

$$\alpha_m = \begin{cases} 1 & \text{estacionario} \\ 1 - \delta/n(m) & \text{no estacionario} \end{cases}$$

, donde típicamente $\delta = 0,5$ y $n(m)$ es la corrida del dato m .

- Se deriva de MC recursivos para mínimos cuadrados ponderados.

Algoritmo MCR no estacionario

Actualización de θ_m^* dato en función de θ_{m-1}^* , B_{m-1} , q_m , ϕ_m :

1. Calcular ganancia y error:

- $K_m = \frac{B_{m-1}\phi_m}{\alpha_m + \phi_m^T B_{m-1} \phi_m}$
- $\zeta_m = \phi_m^T \theta_{m-1}^* - q_m$

2. Ajustar calibración: $\theta_m^* = \theta_{m-1}^* - K_m \zeta_m$

3. Preparar: $B_m = \frac{1}{\alpha_m} (B_{m-1} - K_m \phi_m^T B_{m-1})$

4. Retornar θ_m^*

AVI paramétrico: version indep. del tiempo

1. Iniciar con $\theta \leftarrow \theta^0$.
2. Para $n = 1, \dots, N$
 1. Iniciar estado inicial $s_1^n \leftarrow s_1$
 2. Para cada $t = 1, \dots, T$
 - $x_t^n \leftarrow \operatorname{argmax}_{x \in \mathbb{X}_t(s_t^n)} \{r_t(s_t^n, x) + \theta \cdot \phi(y(s_t^n, x), t)\},$
 - $y_t^n \leftarrow y(s_t^n, x_t^n),$
 - $\phi_t^n \leftarrow \phi(y_t^n, t),$
 - $s_{t+1}^n \leftarrow f(y_t^n, \omega_t^n)$
 3. Para cada $t = T, T - 1, \dots, 1$:
 - $q_t^n \leftarrow r_t(s_t^n, x_t^n) + \theta \cdot \phi_t^n$
 - Ajustar θ considerando el nuevo dato con MCR

Retornar θ

VFA paramétrico lineal

Ventaja:

- Bajo esfuerzo computacional *online* una vez entrenado Q .
- Muy simple, explota simulación computacional, optimización determinística y regresión lineal.
- Estructura lineal: Ideal para resolver paso de optimización con MILP
- Calibración no exige pasar por todos los estados de post-decisión
 - No importa si el espacio es enorme
 - Permite generar un modelo robusto, sin tantas observaciones.

Desventaja:

- Depende fuertemente de la función supuesta y de las características escogidas.

Recomendación del Chef:

- Cuando hace sentido imponer estructura lineal.
- Cuando espacio de estados es inmenso.
- Para decisiones rápidas, cuando el cálculo *online* es caro.



Menú del Día

- ❖ VFA con aproximación paramétrica.
- ❖ Modelos lineales.
- ❖ AVI paramétrico lineal.
- ❖ Explotando estructura
- ❖ Otros modelos

Alternativa: Aprendizaje por diferencias (*TD-learning*)

Forma alternativa para calibrar pendientes lineales.

Supongamos que se desea estimar $V_t(s_t) \approx \theta_t s_t$, donde $s_t \in \mathbb{R}_+^n$ y el valor de $\theta_t = \frac{dV_t(s_t)}{ds_t}$ es la pendiente a estimar. Notar que $\theta_t \approx V_t(s_t + 1) - V_t(s_t)$

La idea es estimar θ_t^n recursivamente en simulaciones mediante diferencias:

$$\theta_t^n \leftarrow \alpha_n (v_t^{n+} - v_t^n) + (1 - \alpha_n) \theta_t^{n-1}$$

donde:

$$v_t^n = \operatorname{argmax}_{x \in \mathbb{X}_t(s_t)} \{r_t(s_t, x) + \mathbb{E}(\theta_{t+1}^{n-1} s_{t+1} | s_t, x)\}$$

$$v_t^{n+} = \operatorname{argmax}_{x \in \mathbb{X}_t(s_t+1)} \{r_t(s_t + 1, x) + \mathbb{E}(\theta_{t+1}^{n-1} s_{t+1} | s_t + 1, x)\}$$

Explotando estructura

- ¿Y si el problema posee estructura?
- Por ejemplo, se presume un value-to-go cóncavo. ¿Qué hacer?
- Veremos un ejemplo “genial”

Recordemos el Problema de Gestion Dinamica de RRMM.

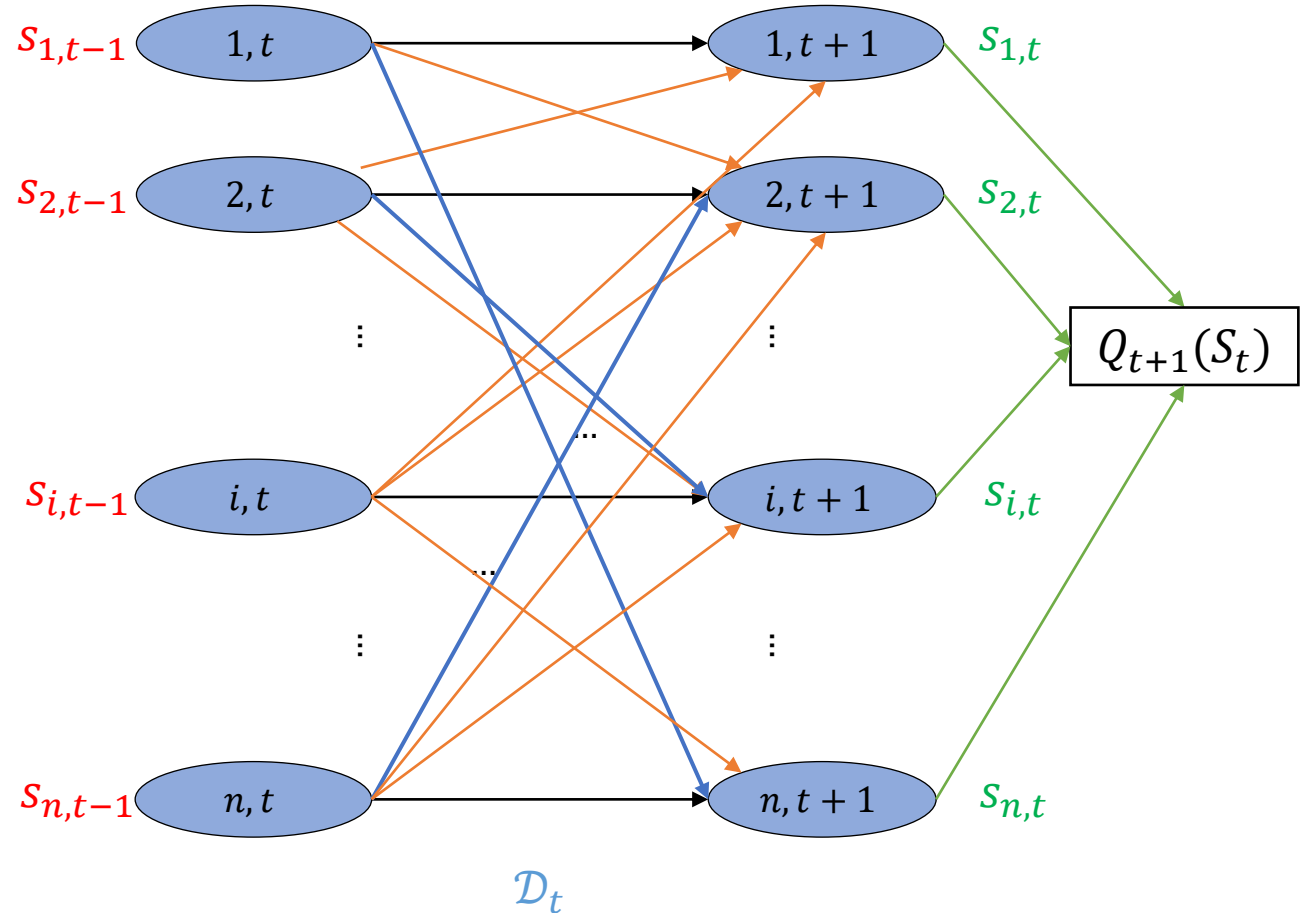
- Estado de pre-decisión sistema: $R_t := (S_{t-1}, \mathcal{D}_t)$
 - $S_{t-1} = (s_{it-1})_{i \in [n]}$: vector de RRMM disponibles en cada nodo i .
 - \mathcal{D}_t : requerimientos revelados para el periodo t .
- Decisiones:
 - x_k : Si requerimiento k se sirve en el día t , para todo $k \in \mathcal{D}_t$
 - y_{ij}^t : Traslado de RRMMs vacíos desde i hacia j iniciando viaje en t

Gestión dinámica de RRMM: etapa t

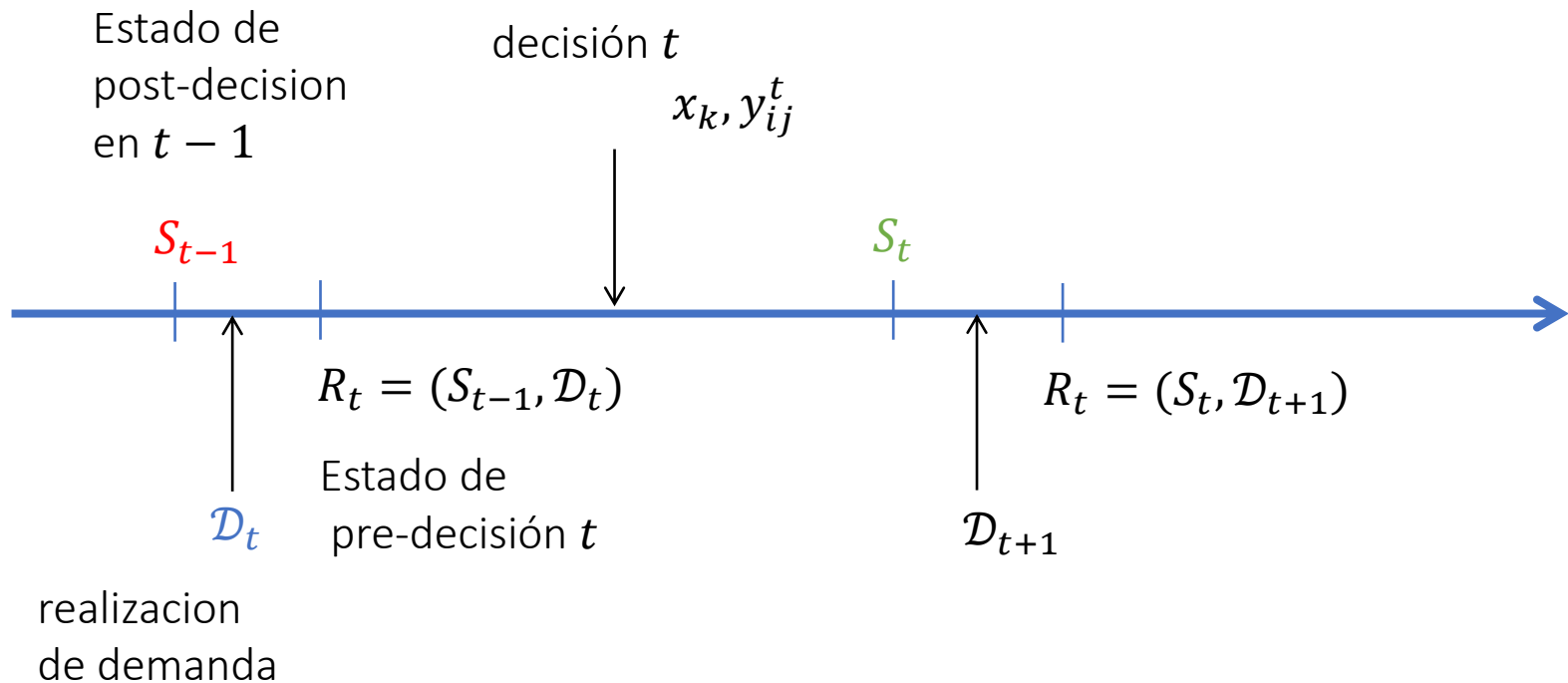
→ reposicionamiento

→ inventario

→ requerimiento



Gestión dinámica de RRMM: decisiones



Gestión dinámica de RRMM: MDP

- Valor inmediato:

$$r_t(\mathcal{D}_t, x, y_t) = \sum_{k \in \mathcal{D}_t} r_k x_k - \left(\sum_{i \in N} h_i(t) y_{ii}^t + \sum_{(i,j) \in A_t} c_{ij}(t) y_{ij}^t \right)$$

- Espacio de decisiones:

$$\mathbb{X}_t(S_{t-1}, \mathcal{D}_t) := \{x_k \in \{0,1\}, y_{ij}^t \in \mathbb{Z}^+ :$$

$$\sum_{j \in N} y_{ij}^t + \sum_{k \in \mathcal{D}_{it}^+} x_k = s_{it-1}, \quad \forall i \in [n],$$

- Transición a estado de post-decision S_t :

$$\sum_{j \in N} y_{ji}^t + \sum_{k \in \mathcal{D}_{it+1}^-} x_k = s_{it}, \quad \forall i \in [n],$$

- MDP:

$$V_t(\mathcal{D}_t, S_{t-1}) = \max_{(x, y_t) \in \mathbb{X}(S_{t-1}, \mathcal{D}_t)} r_t(\mathcal{D}_t, x, y_t) + Q_t(s_t)$$

Supuesto 1: $Q_t(S_t)$ separable por nodo

- Se asume que:

$$Q_t(S_t) \approx \sum_{i \in N} Q_{i,t}(s_{i,t})$$

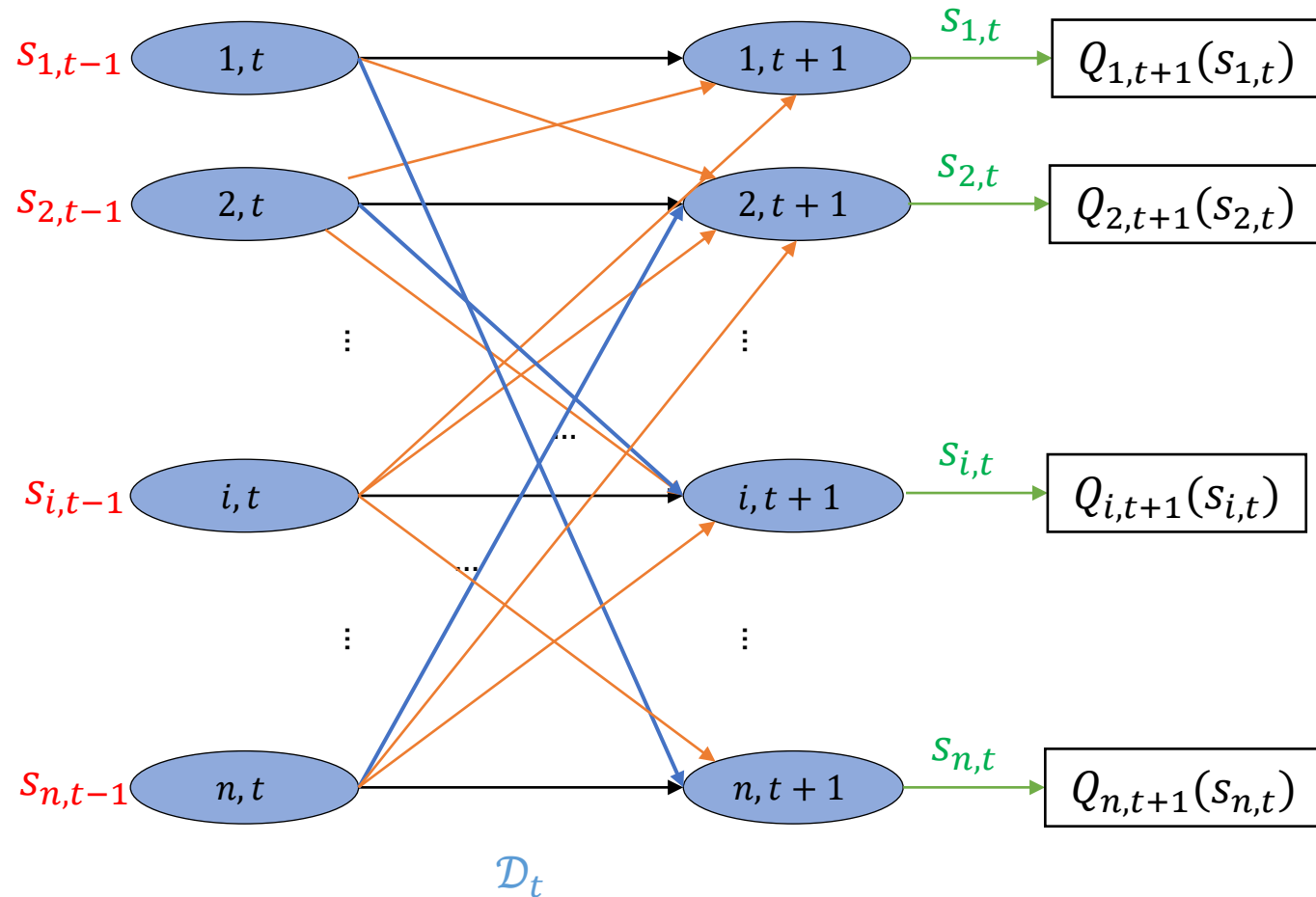
- Cambio de recursos en un nodo no impacta al *value-to-go* que aporta otro nodo (desprecia efectos de red a futuro).
- No siempre es válido, pero sirve para tomar decisiones.

Gestión dinámica de RRMM: etapa t

→ reposicionamiento

→ inventario

→ requerimiento

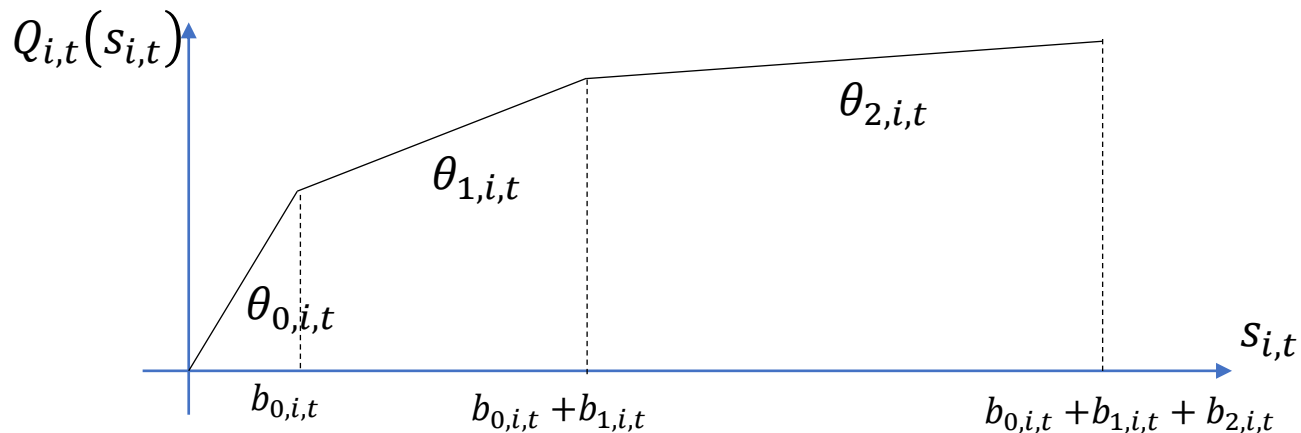


Supuesto 2: $Q_{i,t}(s_{i,t})$ es cóncava y lineal a tramos

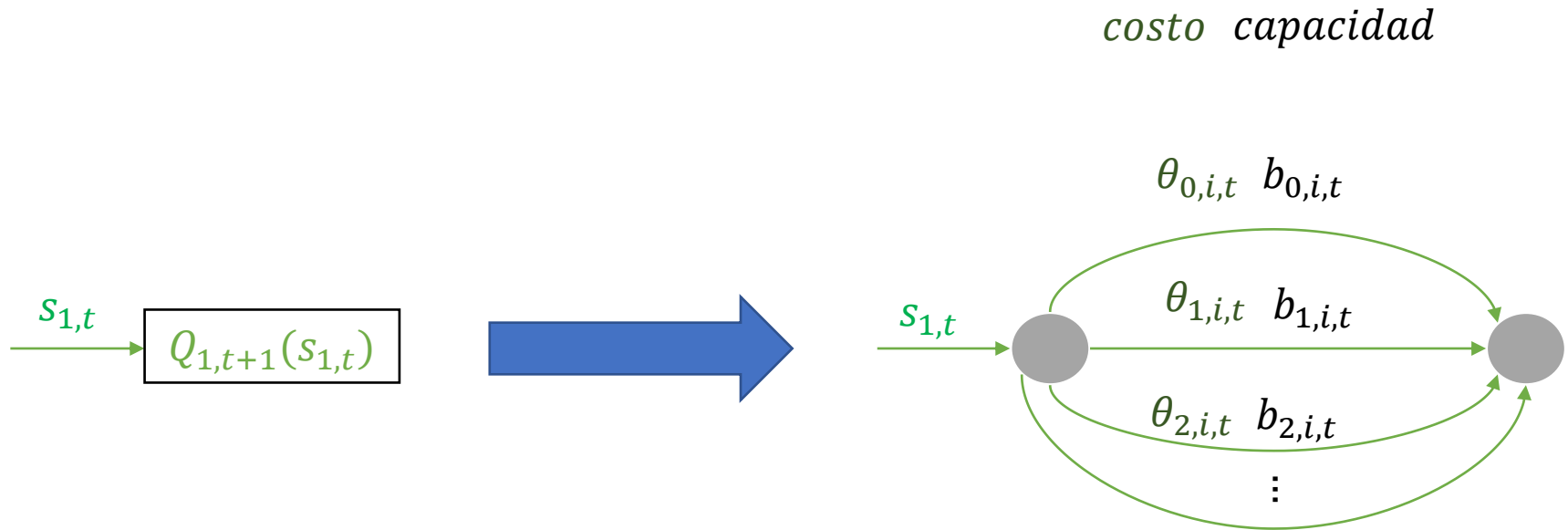
- Se asume que:

$$dQ_{i,t}(s_{i,t})/ds_{i,t} = \begin{cases} \theta_{0,i,t} & 0 \leq s_{i,t} \leq b_{0,i,t} \\ \theta_{1,i,t} & b_{0,i,t} \leq s_{i,t} \leq b_{0,i,t} + b_{1,i,t} \\ \theta_{2,i,t} & b_{0,i,t} + b_{1,i,t} < s_{i,t} \leq b_{0,i,t} + b_{1,i,t} + b_{2,i,t} \\ \dots & \dots \end{cases}$$

, donde $\theta_{0,i,t} \geq \theta_{1,i,t} \geq \theta_{2,i,t} \geq \dots$ No siempre es válido, pero sirve para tomar decisiones.



Gestión dinámica de RRMM: etapa t

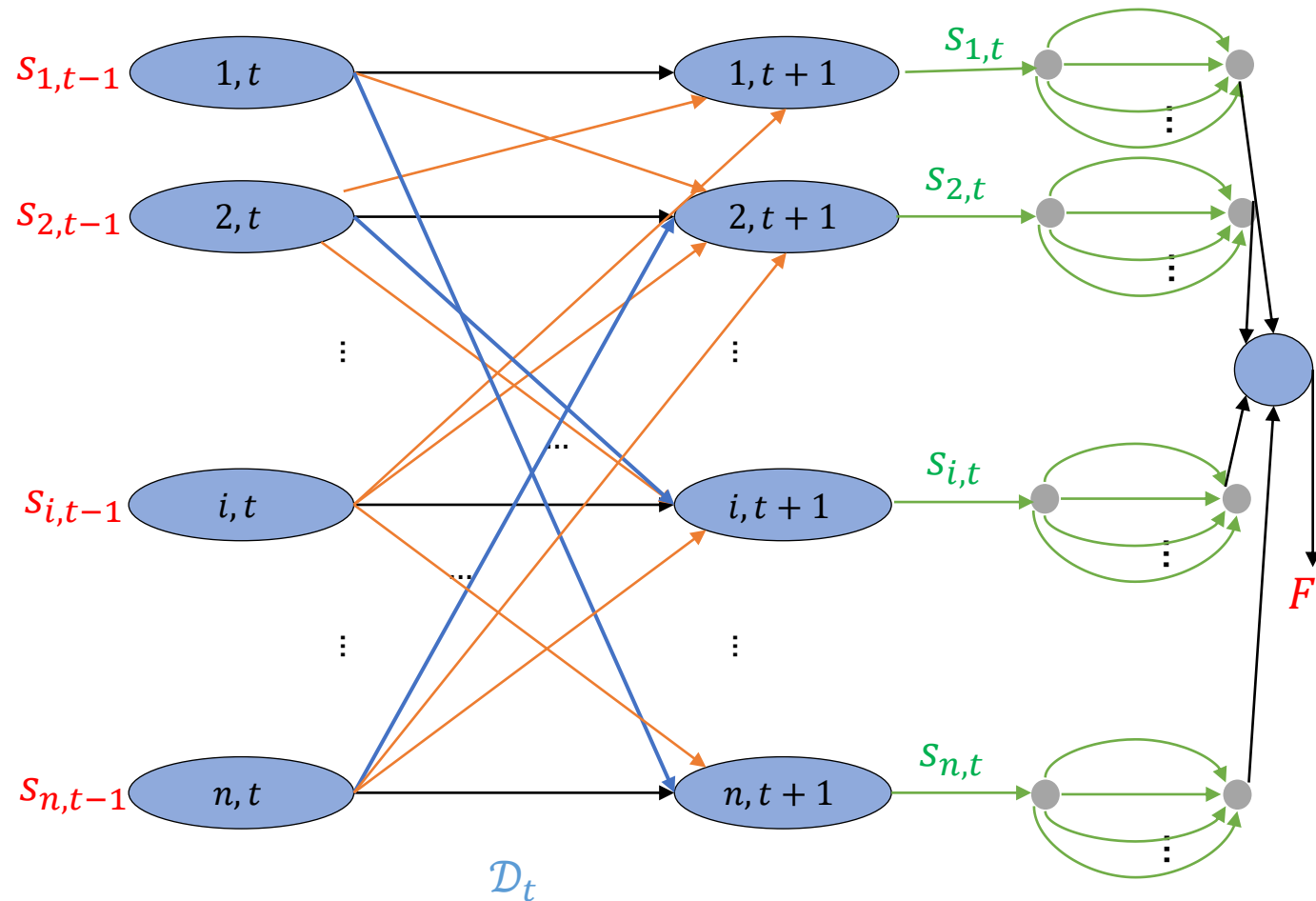


Gestión dinámica de RRMM: etapa t

→ reposicionamiento

→ inventario

→ requerimiento

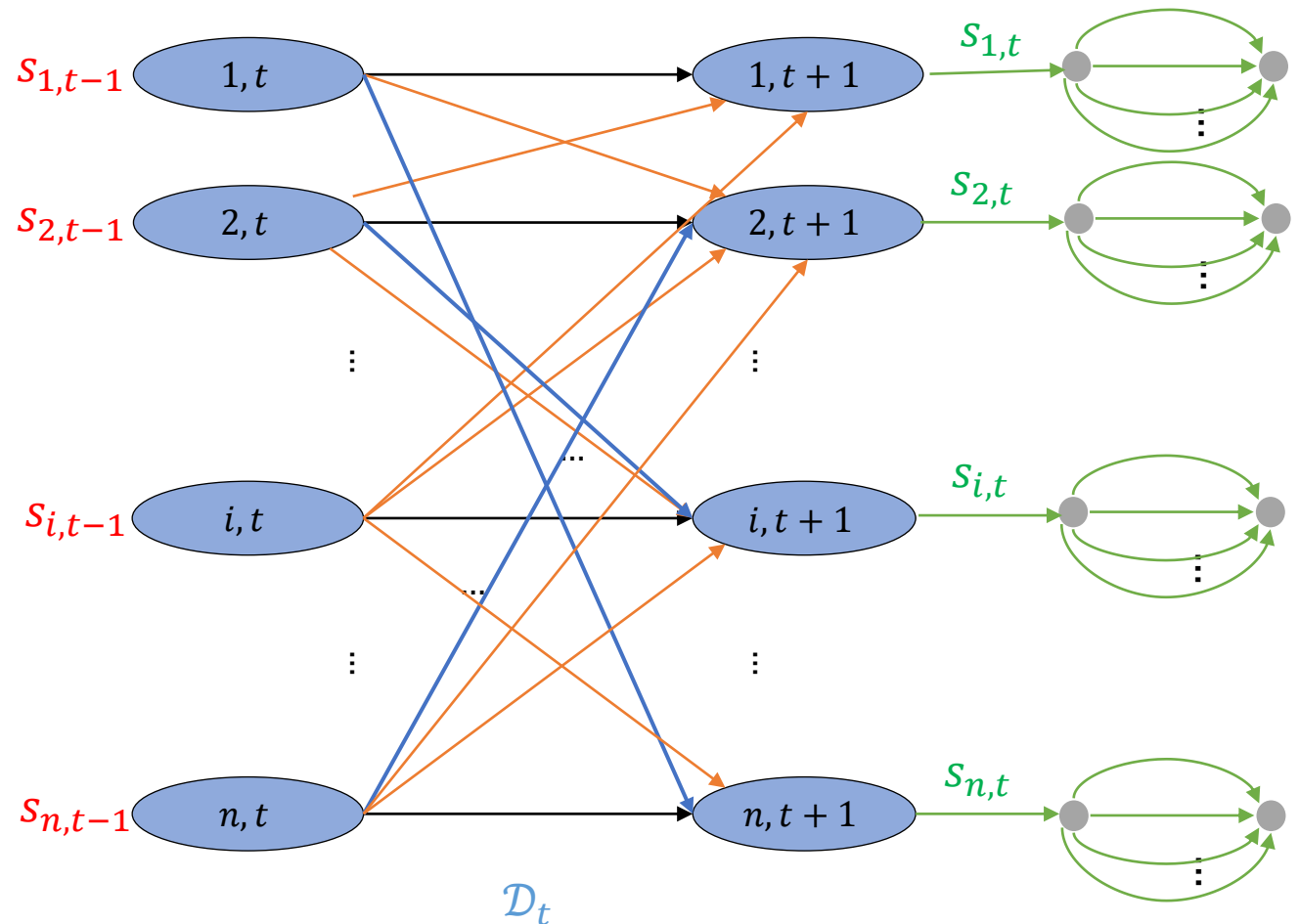


Gestión dinámica de RRMM: etapa t

→ reposicionamiento

→ inventario

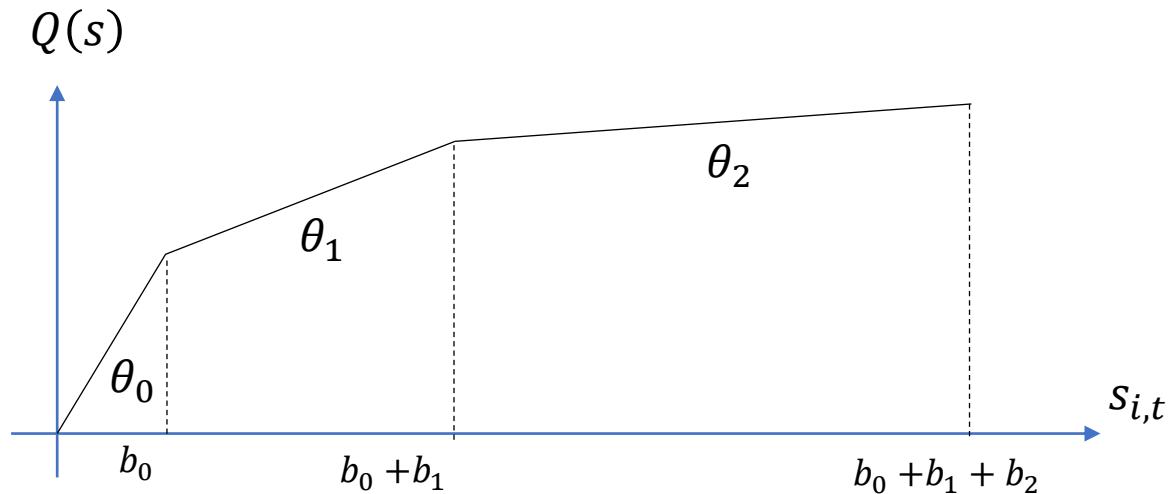
→ requerimiento



UNA VEZ CALIBRADO, ES UN PROBLEMA DE FLUJO EN REDES

¿Cómo calibramos?

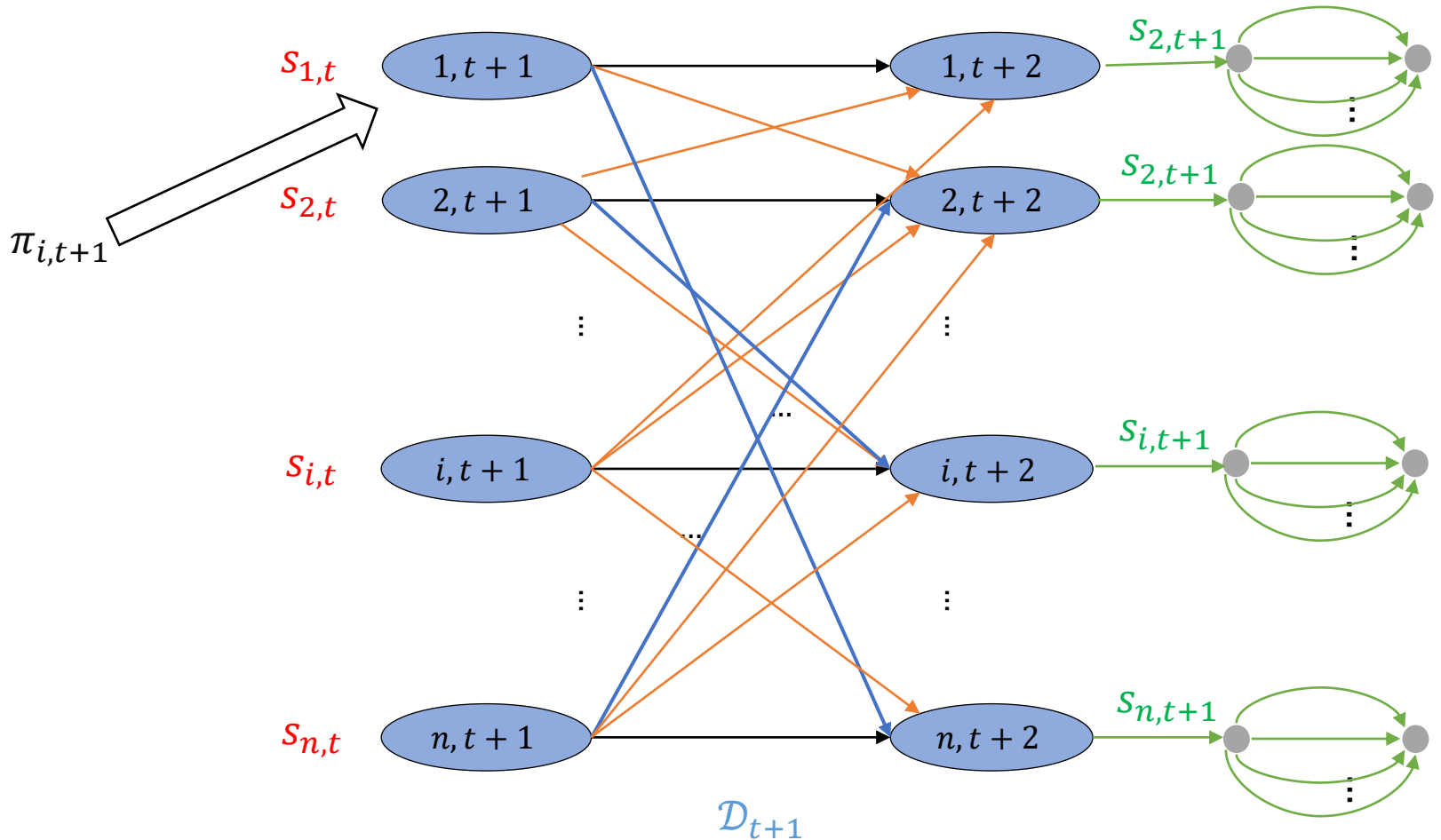
¿Conceptualmente que es θ_p ?



- Representa $\frac{dQ_{it}(s_{it})}{ds}$, es decir, el cambio en $Q(s)$ al aumentar en una unidad los recursos móviles disponibles en i el periodo $t + 1$.
- Ver Powell, pag 501 para detalles.

Vamos un periodo adelante

¿Qué representa la variable dual del nodo $(i, t + 1)$.



Vamos un periodo adelante

¿Qué representa la variable dual del nodo $(i, t + 1)$?

$$\frac{dQ_{it}(s_{it})}{ds} = \mathbb{E}_{D_{t+1}}[\pi_{i,t+1}|s_{i,t}]$$

- Por lo tanto $\pi_{i,t+1}(\omega_t)$ es un estimador sin sesgo pero con mucha varianza de $\frac{dQ_{it}(s_{it})}{ds}$.
- Calibrar mediante algoritmo similar a MCR.



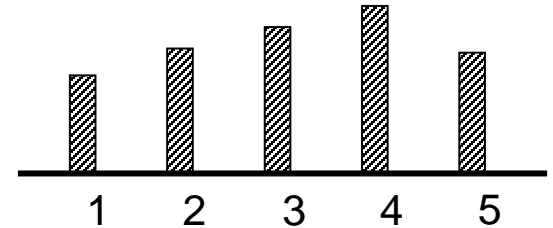
Menú del Día

- ❖ VFA con aproximación paramétrica.
- ❖ Modelos lineales.
- ❖ AVI paramétrico lineal.
- ❖ Explotando estructura
- ❖ Otros modelos

Resumen de aproximaciones para $Q_t(y_t)$

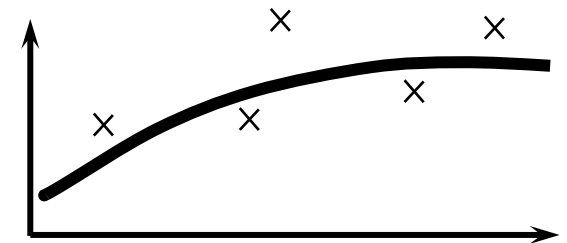
- Tabla de valores (*Lookup table*)

- Un valor estimado para cada estado discreto
- Desafío: memoria.



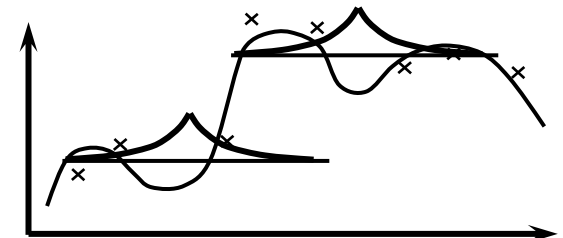
- Aproximación paramétrica:

- Modelos lineales (regresión lineal) y ALP (bases)
- Modelos no lineales
- Explota estructura: monotonía y convexidad
- Desafío: exige suponer una forma funcional de Q .



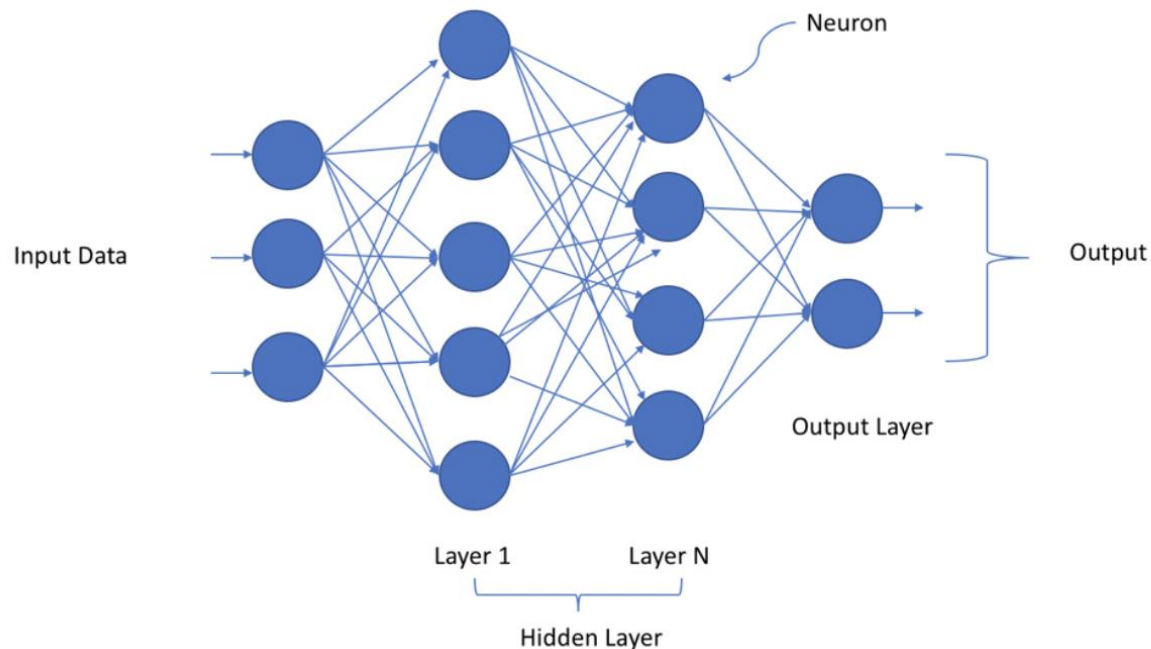
- Aproximación no-paramétrica:

- k –nearest neighbor clustering y Kernel regression
- Local polynomial regression
- Redes Neuronales
- Desafío: *over-fitting*.

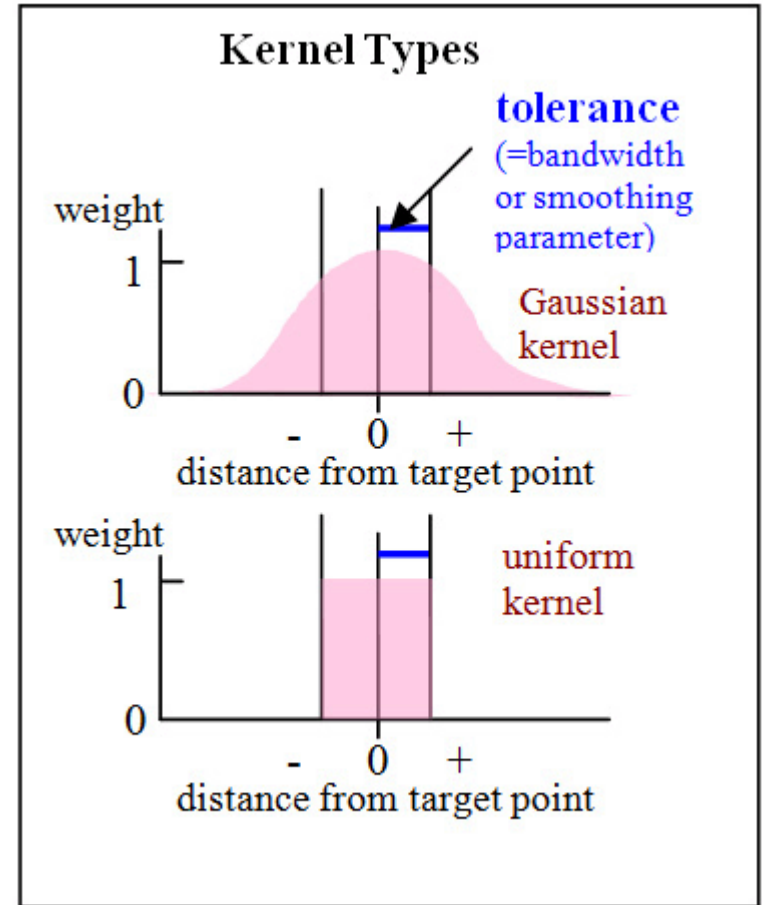
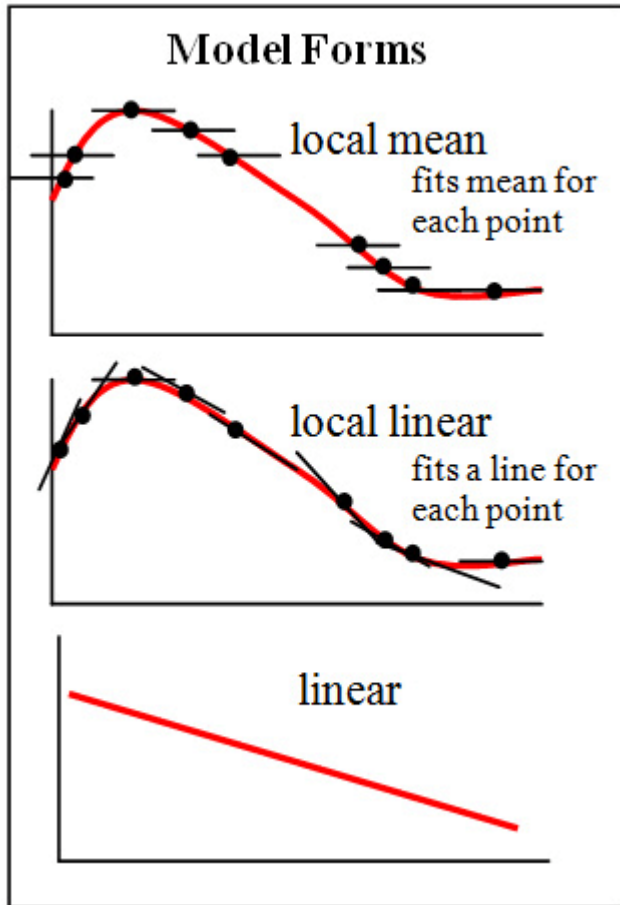


Deep Q-learning

- Deep Q-learning usa **Deep neural networks** para aproximar el value to go.
- La red neuronal es entrenada fuera de línea y luego usada.
- Se pierde estructura.



K- vecinos, Regresión Local, Regresión de Kernel,



Feedback de salida

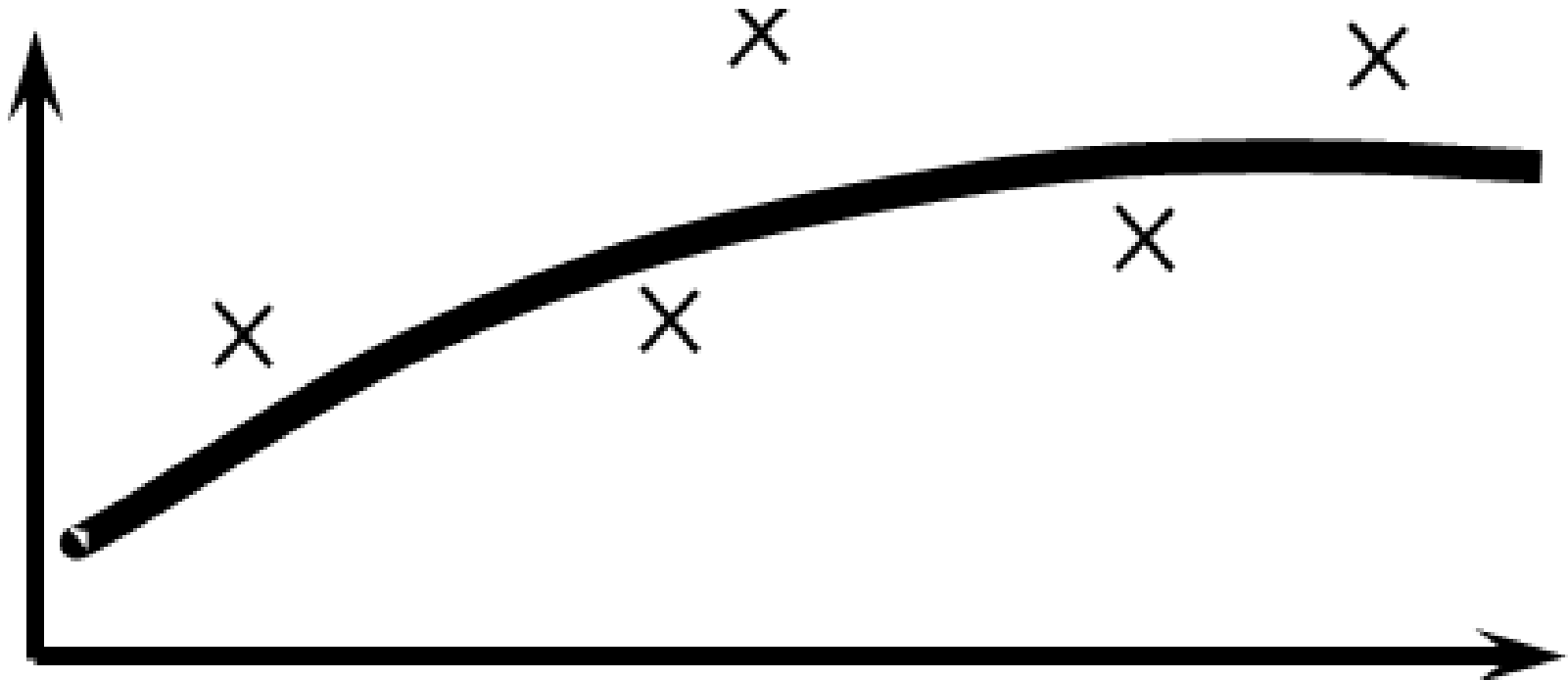


<https://forms.gle/NqXAdEbgbnyf6foG6>

Cuarta Parte:

Clase 6 – *VFA*: aproximaciones paramétricas

Optimización Dinámica - ICS



Mathias Klapp